

レイトレーシング演算の誤差解析 — FP と LNS による橍円体演算の比較 —

黒河富夫

愛知工業大学

レイトレーシングによる画像生成の計算は比較的複雑であり相当程度の計算精度が必要であると考えられる。本研究では浮動小数点演算法（FP）と対数利用の演算法（LNS）によるレイトレーシング演算を行い、両者でどの程度の誤差が生じ、またその間の差異がどの程度であるかを調べた。演算対象物体として橍円体を例に、FP及びLNSで計算した場合の演算誤差式を導出し、それらを使用ビット長ごとに数値評価し比較した。一方シミュレーション演算により計算した誤差と比較し、導出誤差式が正しいことを確認した。また、FPとLNSの間の比較を行い、LNSの方が多少精度が良いことを誤差数値と描画画像の目視により確認した。

Error Analysis of Ray-Tracing Computations: Ellipsoids with Floating Point and Logarithmic Arithmetics

Tomio Kurokawa

Aichi Institute of Technology

1247 Yachigusa, Yagusa-cho, Toyota 470-03 Japan

It is supposed that high accuracy is required to do ray-tracing computation. This paper is intended to make clear how much error exists for ray-tracing computation and which one is more accurate, FP or LNS. Using FP and LNS, theoretical error expressions were derived for the ray-tracing computation of an ellipsoid. They were evaluated numerically and then examined by the experiments. Comparisons were made between the theory and the experiment for each word length of both FP and LNS. They agreed very well. The comparisons between FP and LNS were also made by evaluating the numerical error size and by checking the generated pictures visually. It turned out that with same word length, LNS is a little more accurate though it is less than a single bit.

1 はじめに

筆者らは対数利用の演算法 (LNS) のコンピュータグラフィックスへ応用とその誤差解析を浮動小数点演算 (FP) と比較しながら行ってきた[1, 2, 3]。[2]は非常に簡単な計算でできる円描画についての誤差解析で、[3]はFPについてだけであるが、複雑な計算が必要なレイトレーシングによる梢円体演算を扱った。本報告は[3]にLNSについての解析を追加し、FPとLNSを比較したものである。

LNSは高速の演算法と言われてきたが、高精度の演算のためには大量のメモリーを必要とするため、高精度化は不可能であると考えられてきた。しかし最近の報告[4, 5]では、少メモリでも32ビットFPに匹敵する高精度化が可能になってきている。そこで、複雑な演算を必要とするレイトレーシングの演算誤差について解析し、FPとLNSについて比較検討する。

2 梢円体演算の定義

基本立体の内では比較的計算が複雑な梢円体を例として扱う。式(1)でそれを定義する。

$$ax^2 + by^2 + cz^2 = 1 \quad (1)$$

レイトレーシングの計算で誤差が問題になるところは二つあり、一つは画像の形の生成であり、もう一つは濃度の計算である。前者については描画物体と背景などの境界の区別においてある（境界区別の計算が複雑な場合）。境界附近では計算誤差が大きければ、視線と物体の交点の存在が不確定なものとなり、存在するはずの交点が計算では存在せず背景として計算されたり、あるいは逆に本当に物体との交点など存在しないのに計算誤差のために視線と物体の交点が存在するものとして計算されたりする。後者については本研究では扱わない。

梢円体の描画における視線と物体の交点の計算において、計算順序は、通常の数学式の通りとすると、以下の通りの計算式となる[6]。視点を $(x_v, y_v, z_v) = (0, 0, z_v)$ 、梢円体の中心を (x_c, y_c, z_c) 、画面上の描画点を $(x_p, y_p, z_p) = (x_p, y_p, 0)$ とし、視線の方向余弦を (i, j, k) とすると、

$$d = \sqrt{(x_p^2 + y_p^2) + z_v^2} \quad (2)$$

$$i = x_p/d \quad (3)$$

$$j = y_p/d \quad (4)$$

$$k = (-z_v)/d \quad (5)$$

であるから、二次方程式(6)の判別式(10)が0のところがその梢円体の境界線である。式(2)～(10)の括弧等は計算順序を明確にするためである。

$$At^2 + Bt + C = 0 \quad (6)$$

$$A = (ai^2 + bj^2) + ck^2 \quad (7)$$

$$B = \{(2a)(-x_c)i + (2b)(-y_c)j\} + (2c)(z_v - z_c)k \quad (8)$$

$$C = \{(ax_c^2 + by_c^2) + c(z_v - z_c)^2\} - 1 \quad (9)$$

$$D = B^2 - (4A)C \quad (10)$$

3 FPについての誤差解析

3.1 FPの定義

後述の実験などで精度が問題となるので、ここでFPを定義する。語長は全体のビット数を $n+m+2$ とし、指数部に $m+1$ ビット（符号も含む2の補数表現）、仮数部に $n+1$ ビット（符号も含む2の補数表現、仮数部は符号1ビット、小数点以下 n ビット、値は1未満 $1/2$ 以上の正規化）を使用する。いわゆるけじめ表現ではない。従って、けじめ表現に比べて1ビット分精度が悪い。

3.2 FPによる計算の誤差式

浮動小数点での計算では通常（ビット精度が十分な場合）変換誤差は発生しないが、その他全ての計算（加算、減算、乗除算、平方、平方根）で誤差が生じる。しかし、2倍、4倍の計算では誤差は発生しない。誤差を伴って計算された d, i, j, k, A, B, C, D の計算結果を $d'_f, i'_f, j'_f, k'_f, A'_f, B'_f, C'_f, D'_f$ とすると、それらは以下のようになる。

$$d'_f = \left[\{x_p^2(1+e_{fx_p^2}) + y_p^2(1+e_{fy_p^2})\}(1+e_{fa_1}) + z_v^2(1+e_{fz_v^2}) \right]^{1/2} (1+e_{fr}) \quad (11)$$

$$i'_f = x_p(1+e_{fdv1})/d'_f \quad (12)$$

$$j'_f = \frac{y_p}{d'_f}(1+e_{fdv2}) \quad (13)$$

$$k'_f = \frac{(-z_v)}{d'_f}(1+e_{fdv3}) \quad (14)$$

$$A'_f = \left[\{ai_f^2(1+e_{fj_1^2})(1+e_{fa_1^2}) + bj_f^2(1+e_{fj_2^2})(1+e_{fb_j^2})\}(1+e_{fa_3}) + ck_f^2(1+e_{fk^2})(1+e_{fc_k^2}) \right] (1+e_{fa_4}) \quad (15)$$

$$B'_f = \left[\{(2a)(-x_c)i'_f(1+e_{f2ax_c}) + (2b)(-y_c)j'_f(1+e_{f2by_c})\}(1+e_{f2az_c}) + (1+e_{fa_5}) + (2c)(z_v - z_c)k'_f(1+e_{fs_1})(1+e_{f2cz_c}) + (1+e_{f2cz_c}) \right] (1+e_{fa_6}) \quad (16)$$

$$C'_f = \left[\{(ax_c^2(1+e_{fx_c^2}) + by_c^2(1+e_{fy_c^2}) + c(z_v - z_c)^2(1+e_{fs_1})^2)(1+e_{fx_c^2}) + c(z_v - z_c)^2(1+e_{fs_1})^2(1+e_{fx_c^2})(1+e_{fc_z^2})\}(1+e_{fa_8}) - 1 \right] (1+e_{fm_1}) \quad (17)$$

$$D'_f = \{B_f'^2(1+e_{fB^2}) - (4A'_f)C'_f(1+e_{f4AC})\} \cdot (1+e_{fs_2}) \quad (18)$$

ここで式(11)～(18)の個別の誤差項 e_i はそれぞれ以下の相対誤差である。

1. $e_{fx_p^2} : x_p^2$ の平方誤差
2. $e_{fy_p^2} : y_p^2$ の平方誤差
3. $e_{fa_1} : x_p^2 + y_p^2$ の加算誤差
4. $*e_{fz_v^2} : z_v^2$ の平方誤差
5. $e_{fa_2} : (x_p^2 + y_p^2) + z_v^2$ の加算誤差
6. $e_{fr} : \sqrt{x_p^2 + y_p^2 + z_v^2}$ 平方根の誤差
7. $e_{fdv1} : x_p/d$ の除算誤差
8. $e_{fdv2} : y_p/d$ の除算誤差
9. $e_{fdv3} : (-z_v)/d$ の除算誤差
10. $e_{fj^2} : i^2$ の平方誤差
11. $e_{fa_{i^2}} : a \cdot i^2$ の乗算誤差
12. $e_{fj^2} : j^2$ の平方誤差
13. $e_{fb_{j^2}} : b \cdot j^2$ の乗算誤差
14. $e_{fa_3} : ai^2 + bj^2$ の加算誤差
15. $e_{fk^2} : k^2$ の平方誤差
16. $e_{fc_{k^2}} : c \cdot k^2$ の乗算誤差
17. $e_{fa_4} : (ai^2 + bj^2) + ck^2$ の加算誤差
18. $*e_{f2ax_c} : (2a) \cdot (-x_c)$ の乗算誤差
19. $e_{f2az_c} : ((2a)(-x_c)) \cdot i$ の乗算誤差
20. $*e_{f2by_c} : (2b) \cdot (-y_c)$ の乗算誤差
21. $e_{f2by_c} : (2b(-y_c)) \cdot j$ の乗算誤差
22. $*e_{fs_1} : z_v - z_c$ の減算誤差
23. $e_{fa_5} : (2a(-x_c))i + (2b(-y_c))j$ の加算誤差
24. $*e_{f2cz_v} : (2c) \cdot (z_v - z_c)$ の乗算誤差
25. $e_{f2cz_v} : \{2c(z_v - z_c)\} \cdot k$ の乗算誤差
26. $e_{fa_6} : ((2a(-x_c))i + (2b(-y_c))j) + (2c(z_v - z_c))k$ の加算誤差
27. $*e_{fx_c^2} : x_c^2$ の平方誤差
28. $*e_{fa_{x_c^2}} : a \cdot x_c^2$ の乗算誤差
29. $*e_{fy_c^2} : y_c^2$ の平方誤差
30. $*e_{fb_{y_c^2}} : b \cdot y_c^2$ の乗算誤差
31. $*e_{fa_7} : ax_c^2 + by_c^2$ の加算誤差
32. $*e_{fz_v^2} : (z_v - z_c)^2$ の平方誤差

33. $*e_{fc_{z_v^2}} : c \cdot (z_v - z_c)^2$ の乗算誤差

34. $*e_{fa_8} : (ax_c^2 + by_c^2) + c(z_v - z_c)^2$ の加算誤差

35. $*e_{fm1} : (ax_c^2 + by_c^2 + c(z_v - z_c)^2) - 1$ の減算誤差

36. $e_{fB^2} : B^2$ の平方誤差

37. $e_{f4A \cdot C} : (4A) \cdot C$ の乗算誤差

38. $e_{fs_2} : B^2 - 4AC$ の減算誤差

上記の個別相対誤差の内で*の付いているものは定数間の演算による誤差である。 D'_f の真の値は D であるから、 D'_f の相対誤差を e_{fD} とすると、 D'_f の絶対誤差 e_{af} は以下のようになる。

$$e_{af} = D'_f - D \quad (19)$$

$$= D \cdot e_{fD} \quad (20)$$

これを展開し個別の相対誤差 e_{ij} の2次以上の項（ビット数が多い場合は非常に小さいと見なされる）を無視すると、その絶対誤差 e_{af} は以下のようになる。

$$\begin{aligned} e_{af} \approx & -Di^2 e_{fx_p^2} - Dj^2 e_{fy_p^2} - D(i^2 + j^2) e_{fa_1} \\ & - Dk^2 e_{fz_v^2} - De_{fa_2} - 2De_{fr} \\ & - \{4aBx_ci + 8aCi^2\} e_{fdv1} - 4aBx_ci e_{f2ax_c} \\ & - 4aBx_ci e_{f2az_c} - \{4bBy_cj + 8bCj^2\} e_{fdv2} \\ & - 4bBy_cj e_{f2by_c} - 4bBy_cj e_{f2by_c} \\ & - 4B(ax_ci + by_cj) e_{fa_3} \\ & + \{4cB(z_v - z_c)k - 8cCk^2\} e_{fdv3} \\ & + \{4cB(z_v - z_c)k - 8cA(z_v - z_c)^2\} e_{fs_1} \\ & + 4cB(z_v - z_c)ke_{f2cz_v} + 4cB(z_v - z_c)ke_{f2cz_v} \\ & + 2B^2 e_{fa_6} + B^2 e_{fB^2} - 4aCi^2 e_{fj^2} - 4aCi^2 e_{fa_{i^2}} \\ & - 4bCj^2 e_{fj^2} - 4bCj^2 e_{fb_{j^2}} - 4C(ai^2 + bj^2) e_{fa_4} \\ & - 4cCk^2 e_{fk^2} - 4cCk^2 e_{fc_{k^2}} - 4ACe_{fa_5} \\ & - 4aAx_c^2 e_{fx_c^2} - 4aAx_c^2 e_{fa_{x_c^2}} - 4bAy_c^2 e_{fy_c^2} \\ & - 4bAy_c^2 e_{fb_{y_c^2}} \\ & - 4A(ax_c^2 + by_c^2) e_{fa_7} - 4cA(z_v - z_c)^2 e_{fz_v^2} \\ & - 4cA(z_v - z_c)^2 e_{fc_{z_v^2}} - 4A(C+1)e_{fa_8} \\ & - 4ACe_{fm1} - 4ACe_{f4A \cdot C} + De_{fs_2} \end{aligned} \quad (21)$$

e_{af} の個別の演算相対誤差 e_{ij} は全て独立、しかも全ての変数（係数）、例えば $-Di^2$ などは全て誤差変数とは独立と見なすことができる。誤差の評価には平均平方和の平方根 (RMS) を使用することにし、その場合の平均平方和を

$E[e_{af}^2]$ とすると、以下のようになる。式(21)の個別の演算相対誤差 e_{if} の平均はすべて 0 であると考えられるので[7] (定数の変換誤差も統計的に扱って、確率変数とみなす)、 $E[e_{af}^2]$ は分散 ($VAR[e_{af}]$) である。

$$\begin{aligned}
 E[e_{af}^2] &\approx VAR[e_{af}] \approx \\
 &E[(Di^2)^2]E[e_{fx_p^2}^2] + E[(Dj^2)^2]E[e_{fy_p^2}^2] \\
 &+ E[(D(i^2 + j^2))^2]E[e_{fa_1}^2] \\
 &+ E[(Dk^2)^2]E[e_{fz_p^2}^2] + E[D^2]E[e_{fa_2}^2] + 4E[D^2]E[e_{fr}^2] \\
 &+ E[(4aBx_ci + 8aCt^2)^2]E[e_{fdv1}^2] \\
 &+ E[(4aBx_ci)^2]E[e_{f2ax_c}^2] + E[(4aBx_ci)^2]E[e_{f2ax_c,i}^2] \\
 &+ E[(4bBy_cj + 8bCj^2)^2]E[e_{fdv2}^2] \\
 &+ E[(4bBy_cj)^2]E[e_{f2b-y_c}^2] + E[(4bBy_cj)^2]E[e_{f2b-y_c,j}^2] \\
 &+ E[(4B(ax_ci + by_cj))^2]E[e_{fa_5}^2] \\
 &+ E[(4cB(z_v - z_c)k - 8cCk^2)^2]E[e_{fdv3}^2] \\
 &+ E[(4cB(z_v - z_c)k - 8cA(z_v - z_c)^2)^2]E[e_{fs_1}^2] \\
 &+ E[(4cB(z_v - z_c)k)^2]E[e_{f2c-z_vc}^2] \\
 &+ E[(4cB(z_v - z_c)k)^2]E[e_{f2c-z_vc,k}^2] \\
 &+ E[(4cB(z_v - z_c)k)^2]E[e_{f2cz_vc,k}^2] + E[(2B^2)^2]E[e_{fa_6}^2] \\
 &+ E[(B^2)^2]E[e_{fB^2}^2] + E[(4aCi^2)^2]E[e_{f_t^2}^2] \\
 &+ E[(4aCi^2)^2]E[e_{fa_{i^2}}^2] + E[(4bCj^2)^2]E[e_{fj^2}^2] \\
 &+ E[(4bCj^2)^2]E[e_{fb-j^2}^2] + E[(4C(ai^2 + bj^2))^2]E[e_{fa_3}^2] \\
 &+ E[(4cCk^2)^2]E[e_{fk^2}^2] + E[(4cCk^2)^2]E[e_{fc-k^2}^2] \\
 &+ E[(4AC)^2]E[e_{fa_4}^2] + E[(4AC)^2]E[e_{f4A-C}^2] \\
 &+ E[D^2]E[e_{fa_2}^2] \quad (22)
 \end{aligned}$$

視点 $(0, 0, z_v)$ 、楕円体の中心 (x_c, y_c, z_c) 、楕円体の定数 a, b, c は、一つの楕円体を描く限り変わらなく定数と見なされる。またそれらの定数間の計算による値も定数と見なすことができる。従って、それらの誤差を無視したときの誤差を $e_{af'}$ とすると、その平均平方と $E[e_{af'}^2]$ は以下のようになる。

$$\begin{aligned}
 E[e_{af'}^2] &\approx VAR[e_{af'}] \approx \\
 &E[(Di^2)^2]E[e_{fx_p^2}^2] + E[(Dj^2)^2]E[e_{fy_p^2}^2] \\
 &+ E[(D(i^2 + j^2))^2]E[e_{fa_1}^2] \\
 &+ E[D^2]E[e_{fa_2}^2] + 4E[D^2]E[e_{fr}^2] \\
 &+ E[(2B(2ax_ci) + 8aCt^2)^2]E[e_{fdv1}^2] \\
 &+ E[(2B(2ax_ci))^2]E[e_{f2ax_c,i}^2] \\
 &+ E[(2B(2by_cj) + 8bCj^2)^2]E[e_{fdv2}^2] \\
 &+ E[(2B(2by_cj))^2]E[e_{f2b-y_c,j}^2] \\
 &+ E[(2B(2ax_ci + 2by_cj))^2]E[e_{fa_5}^2] \\
 &+ E[(-2B(2c(z_v - z_c)k) + 8cCk^2)^2]E[e_{fdv3}^2] \\
 &+ E[(2B(2c(z_v - z_c)k))^2]E[e_{f2cz_vc,k}^2] \\
 &+ E[(2B^2)^2]E[e_{fa_6}^2] \\
 &+ E[(B^2)^2]E[e_{fB^2}^2] + E[(4aCi^2)^2]E[e_{f_t^2}^2] \\
 &+ E[(4aCi^2)^2]E[e_{fa_{i^2}}^2] + E[(4bCj^2)^2]E[e_{fj^2}^2] \\
 &+ E[(4bCj^2)^2]E[e_{fb-j^2}^2] + E[(4C(ai^2 + bj^2))^2]E[e_{fa_3}^2] \\
 &+ E[(4cCk^2)^2]E[e_{fk^2}^2] + E[(4cCk^2)^2]E[e_{fc-k^2}^2] \\
 &+ E[(4AC)^2]E[e_{fa_4}^2] + E[(4AC)^2]E[e_{f4A-C}^2] \\
 &+ E[D^2]E[e_{fa_2}^2] \quad (23)
 \end{aligned}$$

4 LNSについての誤差解析

4.1 LNSの定義

語長はFPと同様 $n+m+2$ とし符号 (s_a) に 1 ビット、指数部 (e_a) に $n+m+1$ ビット使用するとする。値は $(-1)^{sa}$ となる。指数部の小数点以下のビット数は n ビットとする。

4.2 LNSによる計算の誤差式

LNSにおいては乗除算、平方の計算では誤差は発生しないが、加減算、平方根演算、変換において誤差が発生する。従って、計算誤差式は以下のようになる。

$$d'_l = \left[[(x_p^2(1 + e_{lcx_p})^2 + y_p^2(1 + e_{lcyp})^2)(1 + e_{la_1}) + z_v^2(1 + e_{lcz_v})^2](1 + e_{la_2}) \right]^{1/2} (1 + e_{lr}) \quad (24)$$

$$i'_l = \frac{x_p}{d'_l}(1 + e_{lcx_p}) \quad (25)$$

$$j'_l = \frac{y_p}{d'_l}(1 + e_{lcyp}) \quad (26)$$

$$k'_l = \frac{(-z_v)}{d'_l}(1 + e_{lcz_v}) \quad (27)$$

$$A'_l = \left[\{ai_l^2(1 + e_{lca}) + bj_l^2(1 + e_{lcb})\}(1 + e_{la_3}) + ck_l^2(1 + e_{lcc}) \right](1 + e_{la_4}) \quad (28)$$

$$B'_l = \left[\{(2a)(-x_c)i'_l(1 + e_{lca})(1 + e_{lcx_c}) + (2b)(-y_c)j'_l(1 + e_{lcb})(1 + e_{lcyc})\} \cdot (1 + e_{la_5}) + (2c)(1 + e_{lcc})\{z_v(1 + e_{lcx_v}) - z_c(1 + e_{lcx_c})\} \cdot (1 + e_{ls_1})k'_l \right](1 + e_{la_6}) \quad (29)$$

$$C'_l = \left[\{(ax_c^2(1 + e_{lca})(1 + e_{lcx_c})^2 + by_c^2(1 + e_{lcb})(1 + e_{lcyc})\}(1 + e_{la_7}) + c(1 + e_{lcc})\{z_v(1 + e_{lcx_v}) - z_c(1 + e_{lcx_c})\}^2 \cdot (1 + e_{ls_1})^2 \right](1 + e_{lm_1}) \quad (30)$$

$$D'_l = \{B'_l^2 - (4A'_l)C'_l\}(1 + e_{ls_2}) \quad (31)$$

ここで式(24)～(31)の個別の誤差項 e_{i_j} はそれぞれ以下の相対誤差である。

1. e_{lcx_p} : x_p の LNS への変換誤差

2. e_{lcyp} : y_p の LNS への変換誤差

3. e_{la_1} : $x_p^2 + y_p^2$ の加算誤差

4. $*e_{lcx_v}$: z_v の LNS への変換誤差

5. e_{la_2} : $(x_p^2 + y_p^2) + z_v^2$ の加算誤差

6. e_{lr} : $\sqrt{x_p^2 + y_p^2 + z_v^2}$ 平方根の誤差

7. $*e_{lca}$: a の LNS への変換誤差

8. $*e_{lcb}$: b の LNS への変換誤差

9. e_{la_3} : $ai^2 + bj^2$ の加算誤差

10. $*e_{lcc}$: c の LNS への変換誤差

11. e_{la_4} : $(ai^2 + bj^2) + ck^2$ の加算誤差

12. $*e_{lcx_c}$: x_c の LNS への変換誤差

13. $*e_{lcyc}$: y_c の LNS への変換誤差

14. e_{la_5} : $(2a(-x_c))i + (2b(-y_c))j$ の加算誤差

15. $*e_{lcx_c}$: z_c の LNS への変換誤差

16. $*e_{ls_1}$: $z_v - z_c$ の減算誤差

17. e_{la_6} : $((2a(-x_c))i + (2b(-y_c))j) + (2c(z_v - z_c))k$ の加算誤差

18. $*e_{la_7}$: $ax_c^2 + by_c^2$ の加算誤差

19. $*e_{la_8}$: $(ax_c^2 + by_c^2) + c(z_v - z_c)^2$ の加算誤差

20. $*e_{lm_1}$: $(ax_c^2 + by_c^2 + c(z_v - z_c)^2) - 1$ の減算誤差

21. e_{ls_2} : $B^2 - 4AC$ の減算誤差

上記の個別相対誤差の内で * の付いているものは定数の変換誤差または定数と定数の演算による誤差である。 D'_l の真の値は D であるから、 D'_l の相対誤差を e_{lD} とすると、 D'_l の絶対誤差 e_{al} は以下のようになる。

$$e_{al} = D'_l - D \quad (32)$$

$$= D \cdot e_{lD} \quad (33)$$

$$e_{al} \approx -(2i^2D + 4ax_ciB + 8ai^2C)e_{lcx_p}$$

$$-(2j^2D + 4by_cjB + 8bj^2C)e_{lcyc_p}$$

$$-D(i^2 + j^2)e_{la_1} - De_{la_2} - 2De_{lr}$$

$$-4(ai^2 + bj^2)Ce_{la_3} - 4ACe_{la_4}$$

$$-4(ax_ci + by_cj)Be_{la_5} + 2B^2e_{la_6}$$

$$-4(ax_c^2 + by_c^2)Ae_{la_7} - 4A(C + 1)e_{la_8}$$

$$+\{4c(z_v - z_c)kB - 8c(z_v - z_c)^2A\}e_{ls_1}$$

$$-4ACe_{lm_1} + De_{ls_2}$$

$$+ \{-2k^2D + 4cz_vkB + 4c(z_v - z_c)kB$$

$$-8ck^2C - 8cz_v^2A + 8cz_vz_cA\}e_{lcx_v}$$

$$-\{4ax_ciB + 4ai^2C + 4ax_c^2A\}e_{lca}$$

$$-\{4by_cjB + 4bj^2C + 4by_c^2A\}e_{lcb}$$

$$-\{4ck^2C - 4c(z_v - z_c)kB + 4c(z_v - z_c)^2A\}e_{lcx_c}$$

$$-\{4ax_ciB + 8ax_c^2A\}e_{lcx_c}$$

$$-\{4by_cjB + 8by_c^2A\}e_{lcyc}$$

$$-\{4cz_ckB - 8cz_vz_cA + 8cz_c^2A\}e_{lcx_c} \quad (34)$$

e_{al} の個別の変換、及び計算の誤差 e_{i_j} は係数及びその計算結果とは独立で、しかもそれらの誤差も互いに独立とみなすことができる。FPの場合と同様に誤差の平均平方和 $E[e_{al}^2]$ $\approx VAR[e_{al}]$ を導出すると以下のようになる。

$$E[e_{al}^2] \approx VAR[e_{al}] \approx$$

$$E[(2i^2D + 4ax_ciB + 8ai^2C)^2]E[e_{lcx_p}^2]$$

$$+ E[(2j^2D + 4by_cjB + 8bj^2C)^2]E[e_{lcyc_p}^2]$$

$$+ E[(D(i^2 + j^2))^2]E[e_{la_1}^2] + E[D^2]E[e_{la_2}^2]$$

$$+ E[(2D)^2]E[e_{lr}^2] + E[(4(ai^2 + bj^2)C)^2]E[e_{la_3}^2]$$

$$+ E[(4AC)^2]E[e_{la_4}^2] + E[(4(ax_ci + by_cj)B)^2]E[e_{la_5}^2]$$

$$+ E[(2B^2)^2]E[e_{la_6}^2] + E[(4(ax_c^2 + by_c^2)A)^2]E[e_{la_7}^2]$$

$$\begin{aligned}
& + E[(4A(C+1))^2]E[e_{las}^2] \\
& + E[\{4c(z_v - z_c)kB - 8c(z_v - z_c)^2A\}^2]E[e_{la_1}^2] \\
& + E[(4AC)^2]E[e_{lm_1}^2] + E[D^2]E[e_{ls_2}^2] \\
& + E[\{-2k^2D + 4cz_vkB + 4c(z_v - z_c)kB \\
& - 8ck^2C - 8cz_v^2A + 8cz_vz_cA\}^2]E[e_{lcx_1}^2] \\
& + E[\{4ax_ciB + 4ai^2C + 4ax_c^2A\}^2]E[e_{lcx_1}^2] \\
& + E[\{4by_cjB + 4bj^2C + 4by_c^2A\}^2]E[e_{lcx_1}^2] \\
& + E[\{4ck^2C - 4c(z_v - z_c)kB + 4c(z_v - z_c)^2A\}^2] \\
& E[e_{lcc}^2] + E[\{4ax_ciB + 8ax_c^2A\}^2]E[e_{lcx_1}^2] \\
& + E[\{4by_cjB + 8by_c^2A\}^2]E[e_{lcx_1}^2] \\
& + E[\{4cz_ckB - 8cz_vz_cA + 8cz_c^2A\}^2]E[e_{lcx_1}^2] \quad (35)
\end{aligned}$$

FP の場合と同様に、 e_{al} の内、定数の変換誤差と計算誤差を無視した誤差を $e_{al'}$ とすると、その誤差の平均平方和、 $E[e_{al'}^2] \approx VAR[e_{al'}]$ は以下のようにになる。

$$\begin{aligned}
E[e_{al'}^2] & \approx VAR[e_{al'}] \approx \\
& E[(2i^2D + 4ax_ciB + 8ai^2C)^2]E[e_{lcx_1}^2] \\
& + E[(2j^2D + 4by_cjB + 8bj^2C)^2]E[e_{lcx_1}^2] \\
& + E[(D(i^2 + j^2))^2]E[e_{la_1}^2] + E[D^2]E[e_{la_2}^2] \\
& + E[4D^2]E[e_{la_1}^2] + E[16(ai^2 + bj^2)^2C^2]E[e_{la_3}^2] \\
& + E[(4AC)^2]E[e_{la_4}^2] + E[(4(ax_ci + by_cj)B)^2]E[e_{la_5}^2] \\
& + E[(2B^2)^2]E[e_{la_6}^2] + E[D^2]E[e_{la_2}^2] \quad (36)
\end{aligned}$$

5 実験による評価

上記の理論式 (22)、(23)、(35)、(36) を評価するため以下の条件の梢円体描画計算を行った。

$$\begin{aligned}
a & = 1/200^2, & b & = 1/300^2, & c & = 1/200^2, \\
z_c & = 60, & y_c & = -20, & z_c & = 350, \\
z_v & = -200, & & & &
\end{aligned}$$

$$-150 \leq x_p \leq 150, \quad -150 \leq y_p \leq 150$$

5.1 定数に関する誤差を無視した場合

定数と定数の演算による誤差または定数の変換誤差などは一つの画面を描画する間にはただ一度しか発生しない。従って計算誤差が画素ごとにランダムに現れるのではなく、画像の形が大きくなったり小さくなったりするだけで、それ以外は見た目には誤差なしで計算されたごとく画像生成が行われると考えられる。ここでは先ずそれらの誤差を無視して誤差評価を行う。表1はFP及びLNSにおいて定数に関する誤差を無視した場合の理論誤差と実験誤差である。

理論値については、FP の場合は式 (23) の平方根 $\sqrt{E[e_{al'}^2]}$ を、また LNS の場合は式 (36) の平方根 $\sqrt{E[e_{al'}^2]}$ の RMS を数値で評価したものである。ただし、その計算における個別の相対誤差 e_{li} の平方和には実験値によるものを使用した。FP における個別計算の相対誤差 (37) の分布は台形型等が報告されているが [7]、特殊な条件での分布は必ずしも一定のタイプにならない。一方 LNS における個別誤差 e_{li} (38) の分布は本実験の場合ほぼ完全な一様分布であった [8]。

$$-2^{-n} \leq e_{li} \leq 2^{-n} \quad (37)$$

$$-2^{-2^{-n-1}} - 1 \leq e_{li} \leq 2^{-2^{-n-1}} - 1 \quad (38)$$

表1の実験値はFP、LNS それぞれ

$$\sqrt{E[e_{al'}^2]} \approx \sqrt{\frac{1}{N} \sum ((D'_f - D)^2)}, \quad (39)$$

$$\sqrt{E[e_{al'}^2]} \approx \sqrt{\frac{1}{N} \sum ((D'_l - D)^2)} \quad (40)$$

によるものである。FP、LNS いずれも理論値と実験値は大変よく合致しているとみなすことができる。特に LNS の場合はほぼ完全な合致といえる。その理由としては、個別誤差 e_{li} の分布がほぼ完全な一様分布であるので、誤差の平均がほぼ0であること、誤差変数及び計数などが確率変数としての独立の仮定が理論と実験でよく一致することが考えられる。FP における $n = 5 \sim 7$ のところで、理論値と実験値の間に開きがある。梢円体描画の演算はある特殊演算であり、誤差にある程度の偏りができるとも考えられる。 $n = 5 \sim 7$ のビット数では精度が低く過ぎて誤差の偏りが顕著に表れたと考えられる [3]。すなわち、変数の独立性、個別誤差の平均0の仮定が LNS の場合ほどには成立していないと考えられる。ちなみに、図1は $n = 5$ における e_{fa_6} と対応する LNS の個別誤差 e_{las} の分布を図示したものである。LNS の分布はほぼ完全な一様分布になっていることが分かる。また誤差の大きさを FP と LNS で比較した場合、FP の誤差が3倍余り大きいことが分かる。同じ大きさの誤差に着目すると、LNS は1ビットから2ビット精度が良いと言える。これは円描画についての解析結果 [2] とほぼ同じである。

5.2 定数誤差も統計的に扱った場合

表2は式 (22) (FP の場合) と式 (35) (LNS の場合) を比較したものである (ただし、RMS の比較である)。ただ一回限りしか計算されない定数に関する誤差も他の誤差とともに確率変数的に扱って、計算したものである。FP の場合も LNS の場合も定数に関する個別誤差の分布は梢円演算とは別計算で100のサンプルを使用して、実験的に得たものを使用した。FP、LNS いずれの場合も理論値と実験値が合致しているとはいえない。これは実験値の計算においては、定数の誤差がただ一回の計算によってしか得られず、平均値によるものではないことが原因として考えられる。実際、実験値が理論値より大きい場合は、定数に関する個別誤差が平均以上にばらつき、逆の場合はその

個別誤差のばらつきが小さいことが確認された。理論値と実験値にズレはあるが、定数に関する誤差も誤差であるので、また定数誤差を無視した場合は理論値と実験値がよく合致したことから、F P、L N Sともに図2の理論値が実際に期待される誤差のRMSであると考えられる。

表3は楕円体とその背景の区別において誤りがあった画素数を表したものである(64ビットF Pで計算した結果との比較による)。F Pの場合完全に誤差がなくなるのはn = 19からであり、L N Sの場合n = 15である。誤り数の比較では、概して、L N Sの方が約2ビット精度が良いと読みとれる。

図2はF Pのm = 7, n = 7による楕円体であり、図3はL N Sのm = 7, n = 7により描画演算された楕円体である。さらに、図4はL N Sのm = 7, n = 6によるものである。明らかに、図3は図2より精度の良い画像と言える。図2と図4の比較ではほぼ同じ数のギザギザがあるのでほぼ同精度と見なすことができるが、図2はギザギザが不規則であるから、多少精度が劣ると言う評価もできる。

因みに、本実験では以下の単純な照明モデル[6]を用いた。

$$I_d = k_d I_p \cos \theta \quad (41)$$

ここで、 I_d :表面輝度、 $k_d = 1.0$:拡散反射係数(各色)、 $I_p = 256$:平行光源の光の強さ(一定白色光)、 θ :入射角。

表1: 定数誤差を無視した場合の理論誤差と実験誤差(RMS)の比較

n	F P 理論値	F P 実験値	L N S 理論値	L N S 実験値
5	2.67e-5	2.36e-5	8.57e-6	8.62e-6
6	1.35e-5	1.26e-5	4.35e-6	4.37e-6
7	6.74e-6	6.41e-6	2.12e-6	2.14e-6
8	3.35e-6	3.21e-6	1.07e-6	1.07e-6
9	1.67e-6	1.64e-6	5.34e-7	5.34e-7
10	8.35e-7	8.15e-7	2.67e-7	2.65e-7
11	4.17e-7	4.12e-7	1.33e-7	1.33e-7
15	2.61e-8	2.57e-8	8.35e-9	8.30e-9
21	4.07e-10	4.03e-10	1.30e-10	1.30e-10
22	2.03e-10	2.00e-10	6.47e-11	6.48e-11
23	1.02e-10	1.01e-10	3.24e-11	3.24e-11

6 むすび

F PとL N Sを使用して、レイトレンジングによる楕円体の演算誤差式を導出し、それを、実験で確認した。個別相対誤差と係数が独立という仮定で、相対誤差の2次以上を無視するだけの粗っぽい誤差式導出方法を使用したが、計算式が複雑であったにもかかわらず、F P、L N Sともに理論値と実験値とは非常によく合致した。L N Sの方が誤差の大きさ、及び描画画像変形度で比べると1ビットから2ビット精度がよいことが分かった。F PはIEEE-754のけち表現によれば1ビット精度を増すので、L N Sの方が1ビッ

表2: 定数誤差も含めた場合の理論誤差と実験誤差(RMS)の比較

n	F P 理論値	F P 実験値	L N S 理論値	L N S 実験値
5	2.95e-5	4.34e-5	9.11e-6	1.33e-5
6	1.52e-5	1.40e-5	4.78e-6	4.90e-6
7	7.97e-6	6.57e-6	2.43e-6	2.40e-6
8	4.13e-6	3.22e-6	1.23e-6	1.11e-6
9	2.13e-6	1.71e-6	6.15e-7	5.72e-7
10	1.11e-6	8.56e-7	3.10e-7	3.36e-7
11	5.46e-7	4.22e-7	1.55e-7	2.31e-7
15	3.42e-8	2.77e-8	9.77e-9	9.19e-9
21	5.34e-10	4.10e-10	1.51e-10	1.72e-10
22	2.68e-10	2.24e-10	7.58e-11	6.81e-11
23	1.36e-10	1.05e-10	3.81e-11	6.50e-11

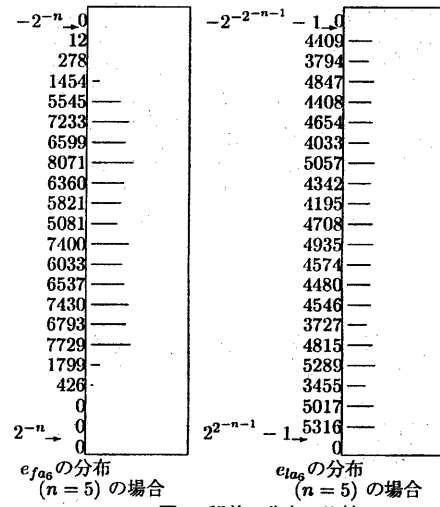


図1: 誤差の分布の比較

表3: 楕円体と背景の区別に誤りがあった画素数

n	誤り数(FP)	誤り数(LNS)
8	398	67
9	174	41
10	101	36
11	54	30
12	33	4
13	32	5
14	10	2
15	1	0
16	0	0
17	1	0
18	1	0
19	0	0

ト以下ではあるが精度的には少しだけ良いが、ほぼ同等であるといえる。以前の研究[3]により、FP,LNSともに語長18,19ビット程度でレイトレーシングが可能であると言える。従って、レイトレーシングそのもの演算に付加して、多少の計算があつても、通常扱う単精の32ビット演算(FP,LNSに関わらず)で十分な計算精度が得られると考えられる。

なお、本研究の一部は財団法人日東学術振興財団の助成による。

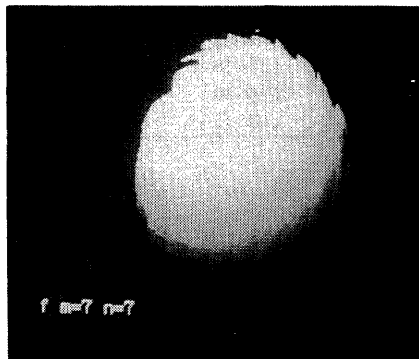


図 2: FP $m=7, n=7$ で描画した梢円体

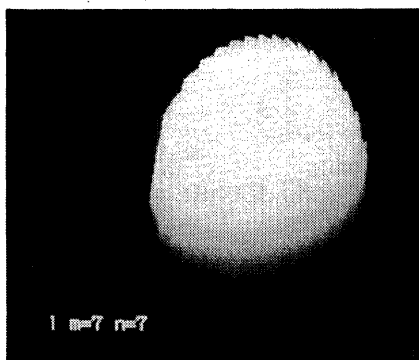


図 3: LNS $m=7, n=7$ で描画した梢円体

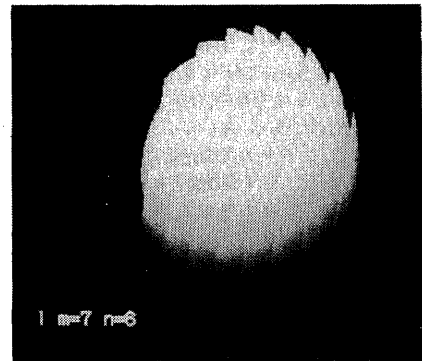


図 4: LNS $m=7, n=6$ で描画した梢円体

Logarithmic Number Systems", IEICE Trans. INF. & SYST., E75-D, 4, pp.577-584, 1992

- [3] 黒河、”レイトレーシングにおける画像生成演算の誤差解析——浮動小数点演算による梢円体——”、情報処理学会研究報告、94,17,pp.47-54, 1994
- [4] Arnold M., Bailey T., Cowles J., "Comments on "An Architecture for Addition and Subtraction of Long Word Length Numbers" in the Logarithmic Number Systems", IEEE Trans. on Computers, 41, 6, pp.786-788, 1992
- [5] Lewis D. M., "An Accurate LNS Arithmetic Unit Using Interleaved Memory Function Interpolator", Proceedings 11th Symposium on Computer Arithmetic, pp.2-9, 1993
- [6] 千葉、村岡、レイトレーシングCG入門、サイエンス社, 1990
- [7] Liu B., Kaneko T., "Error Analysis of Digital filters Realized with Floating-Point Arithmetic", Proc. IEEE, 57, 10, pp.1735-1747, 1969
- [8] Kurokawa T., Payne J. A., Lee S. C., "Error Analysis of Recursive Digital Filters Implemented with Logarithmic Number Systems", IEEE Trans. of ASSP, 28, 6, pp.706-715, 1980

参考文献

- [1] Kurokawa T., Mizukoshi T., "A Fast and Simple Method for Curve Drawing—A New Approach Using Logarithmic Number System—", J of Information Processing, 14, 2, pp.144-152, 1991
- [2] Kurokawa T., "Error Analysis of Circle Drawing Using